

بهبود روش هارדי کراس در تحلیل شبکه تهویه فضاهای زیرزمینی

ابراهیم الهی^{*}

۱- مری؛ دانشکده‌ی فنی و مهندسی شهید نیکبخت، گروه معدن، دانشگاه سیستان و بلوچستان

دریافت دستنوشته: ۱۳۹۴/۰۱/۲۷؛ پذیرش دستنوشته: ۱۰/۰۶/۱۳۹۴

واژگان کلیدی	چکیده
فضای زیرزمینی	روش‌های مختلفی همچون روش دستی و رایانه‌ای جهت تحلیل تهویه شبکه فضاهای زیرزمینی ارایه شده است. شرط انتخاب نوع روش به هدف تحلیل شبکه تهویه بستگی دارد. اگر هدف از تحلیل شبکه تهویه فضای زیرزمینی، بررسی تاثیر یک یا چند بادبزن بر شبکه تهویه باشد در این صورت بهتر است از روش رایانه‌ای که بر پایه روش‌های تقریبی ریاضی استفاده شود. روش‌های متعدد تقریبی ریاضی همچون روش هارדי کراس (Hardy Cross) و مدل‌های اصلاح شده آن، تکنیک نیوتن رافسون و آنالیز خطی ارایه شده است. استفاده از روش هارדי کراس در بین نرم افزارهای معدنی از عمومیت بیشتری برخوردار است. بر این اساس در این مقاله بر پایه روش هارדי کراس جهت همگرایی سریع‌تر به جواب نهایی، مطالعاتی انجام شده که نهایتاً سبب ارایه مدل تلفیقی روش هارדי کراس شده است.
تهویه	
روش رایانه‌ای	
هارדי کراس	

چگونگی توزیع هوای تمیز در فضای زیرزمینی

نیاز به دانستن علم تهویه است [۱] و [۲]. طراحی تهویه فضاهای زیرزمینی بر پایه اصولی همچون تهیه نقشه زیرزمینی، شناسایی شاخه‌ها و گره‌های شبکه تهویه، محاسبه مقاومت معدنی هر یک از شاخه‌ها، محاسبه شدت جریان هوا برای هر یک از شاخه‌ها و شدت جریان اصلاح شده آن‌ها، محاسبه افت فشار برای هر یک از شاخه‌ها، محاسبه تهویه طبیعی، تعدیل شبکه و انتخاب دریچه یا بادبزن مناسب به همراه انتخاب بادبزن اصلی شبکه استوار است [۱] و [۳].

روش‌های مختلفی جهت تحلیل شبکه تهویه فضاهای زیرزمینی ارایه شده که از جمله

۱- مقدمه

در فضاهای زیرزمینی محصور شده در اثر فرآیندهایی همچون تنفس کارکنان، انفعال مواد منفجره، نفوذ گازهای مضر از شکاف سنگ‌ها به داخل و گاز خیزی مواد معدنی سبب می‌شود تا ترکیب هوا در فضاهای زیرزمینی پیوسته تغییر یابد. هر چند این فضاهای زیرزمینی توسط حفریاتی همچون تونل، دویل و چاه به سطح زمین یعنی هوای آزاد ارتباط دارد اما این ارتباط برای به حریان انداختن کامل هوا در برخی شبکه فضاهای زیرزمینی کافی نیست. بر این اساس لازم است هوای تمیز به صورت مصنوعی و با استفاده از وسایل مختلف به داخل فضای زیرزمینی تزریق شود. جهت برآورد مقدار

* استان سیستان و بلوچستان؛ زاهدان، بلوار دانشگاه؛ دانشگاه سیستان و بلوچستان؛ دانشکده‌ی فنی و مهندسی شهید نیکبخت؛ گروه معدن؛ رایانه‌ای: elahi@eng.usb.ac.ir

هارדי کراس استوار است [۱]، [۲] و [۳]. اولین معادله ریاضی ارایه شده جهت تخمین خطای شدت جریان هر حلقه توسط هارדי کراس در سال ۱۹۳۶ مطرح و بیان شد [۴]. هر چند این معادله جهت تحلیل شبکه‌های آب مطرح شد اما بعداً این معادله توسط ونگ (Wang) در امر تحلیل شبکه تهویه فضاهای زیرزمینی مورد استفاده قرار گرفت و توسط او تصحیح گردید [۵] و [۶]. همچنین جهت همگرایی سریع‌تر معادله هارדי کراس برای رسیدن به جواب نهایی تصحیحاتی توسط افرائی و مدنی نیز انجام شده است [۷]. علاوه بر روش‌های یاد شده روش‌های دیگری همچون تکنیک نیوتون-رافسون (Newton-Raphson) [۸] و [۹]، مسیر بحرانی [۱۰]، آنالیز خطی [۱۱] و [۱۲]، برنامه‌ریزی غیر خطی [۱۳] و [۱۴] و تکنیک‌های بهینه‌سازی [۱۵] نیز ارایه شده است.

یکی از اهداف ارایه این مقاله بررسی تاثیر بادبزن‌ها در شبکه فضاهای زیرزمینی بر اساس روش هارדי کراس و مدل‌های اصلاح شده آن است. هدف دیگر آن اصلاح روش هارדי کراس برای دسترسی سریع‌تر به جواب نهایی است.

۲- روش هارדי کراس و مدل‌های اصلاح شده آن

روش هارדי کراس یکی از روش‌های رایج در تحلیل شبکه فضاهای زیرزمینی است. این روش توسط محققین مختلف مورد تصحیح و اصلاح واقع شده که تنویر تعدادی از آن‌ها به شرح ذیل بیان می‌شود:

۲-۱- روش هارדי کراس

معادله معروف هارדי کراس به شرح ذیل مطرح شده و طبق رابطه ۱ مقدار خطای شدت جریان هر حلقه را می‌توان برآورد کرد [۱].

روش دستی و رایانه‌ای است. شرط انتخاب نوع روش به هدف از تحلیل شبکه تهویه بستگی دارد. اگر شدت جریان شاخه‌های یک شبکه فضای زیرزمینی به همراه جهت آن مشخص و ثابت باشند در این صورت بهتر است جهت تحلیل این شبکه معدنی از روش دستی استفاده شود [۱].

هدف از تحلیل شبکه تهویه فضاهای زیرزمینی به روش دستی تنها انتخاب بادبزن‌های اصلی، فرعی و دریچه‌های تنظیم کننده هوا می‌باشد. اما اگر هدف از تحلیل این شبکه‌های تهویه، بررسی تاثیر یک یا چند بادبزن بر شبکه فضای زیرزمینی باشد در این صورت بهتر است از روش‌های تقریبی ریاضی استفاده شود زیرا روش دستی برای شبکه‌های پیچیده قادر به برآورد شدت جریان هر یک از شاخه‌های فضاهای زیرزمینی نمی‌باشد [۱].

در تحلیل شبکه تهویه فضاهای زیرزمینی بر اساس روش‌های تقریبی ریاضی یک شدت جریان فرضی با جهت فرضی در هر یک از شاخه‌های شبکه تهویه با توجه به قانون گره‌ها در نظر گرفته می‌شود. سپس با معلوم بودن بادبزن‌های شبکه تهویه و معادلات تقریبی ریاضی می‌توان خطای هر حلقه در شبکه تهویه را برآورد و بر این اساس شدت جریان فرضی هوا تصحیح می‌شود. عملیات تصحیح شدت جریان هوا بر اساس معادله ریاضی ارایه شده باید چندین بار تکرار شود تا خطای محاسبات کمتر یا مساوی دقت انجام محاسبات شود. استفاده از روش‌های تقریبی ریاضی برای حل شبکه‌های حجمی و پیچیده توسط انسان تقریباً امری غیر ممکن بوده بنابراین استفاده از رایانه جهت حل آن‌ها امری ضروری است. نرم افزارهای رایانه‌ای مختلفی برای تحلیل شبکه‌های تهویه در فضاهای زیرزمینی ارایه شده که یکی از معروف‌ترین آن‌ها نرم افزار ونت‌سیم (Ventsim) است. این نرم افزار بر اساس معادله

جريان هر حلقه براساس رابطه ۱. لازم به ذکر است اگر جهت جريان هوا در شاخه‌ای با جهت جريان حلقه هم جهت باشد در اين صورت افت فشار آن شاخه با علامت مثبت در غير اين صورت با علامت منفي در صورت معادله ظاهر می‌شود. همچنین مخرج کسر در معادله مطرح شده بدون تعیین علامت آن همواره از علامت مثبت برخوردار خواهد بود.

مرحله پنجم: محاسبه شدت جريان جديد شاخه‌ای شبکه تهويه. ابتدا در اين مرحله بررسی می‌شود هر شاخه تحت تاثير چند حلقه قرار می‌گيرد. سپس علامت مثبت یا منفي خطای هر حلقه تاثيرگذار تعیین و نهايata با جمع جبری شدت جريان شاخه مورد نظر با مقدار خطای شدت جريان حلقه‌های تاثيرگذار می‌توان شدت جريان جديد هر شاخه را در شبکه تهويه برآورد كرد. لازم به ذکر است اگر جهت حلقه هم جهت با جهت جريان شاخه باشد در اين صورت مقدار خطای حلقه در علامت مثبت و در غير اين صورت در علامت منفي باید ضرب شود. همچنین اگر مقدار شدت جريان جديد شاخه‌ای منفي شود در اين صورت باید جهت جريان هوا در شاخه مورد نظر برعکس شود.

مرحله ششم: عملیات فوق از مرحله سوم تا پنجم باید چندین بار تكرار شود تا خطای محاسبات كمتر یا مساوی دقت انجام محاسبات شود.

۲-۲- روش اصلاح شده ونگ

تصحیح ونگ مربوط به مرحله چهارم از مراحل حل روش هارדי کراس است. در این مرحله مقدار خطای شدت جريان هر حلقه طبق رابطه ۴ برآورد می‌شود. هدف از اين تصحیح حذف علامت مثبت یا منفي افت فشار در رابطه ۱ و همچنین تصمیم برای تغيير جهت جريان هوا برای شاخه‌ای با مقدار شدت جريان منفي است. بر اين اساس اگر جهت جريان تغيير يابد در اين صورت مقدار شدت جريان با علامت مثبت و گرنge با علامت منفي در رابطه ۴ باید ظاهر شود.

$$\begin{aligned} \begin{cases} Q = Q_0 + \Delta \\ \Delta P = R Q^n \end{cases} &\rightarrow R Q^n = R (Q_0 + \Delta)^n \\ R Q^n &= R (Q_0^n + n \Delta Q_0^{n-1} + \dots) \\ R Q^n &\equiv R Q_0^n + n R \Delta Q_0^{n-1} \\ \rightarrow \sum R Q^n &= \sum R Q_0^n + \Delta \sum n R Q_0^{n-1} \\ \rightarrow \begin{cases} \sum R Q^n = 0 \\ \sum R Q_0^n = -\Delta \sum n R Q_0^{n-1} \end{cases} & \\ \rightarrow \Delta &= -\frac{\sum R Q_0^n}{\sum n R Q_0^{n-1}} \xrightarrow{n=2} \Delta = -\frac{\sum R Q_0^2}{2 \sum R Q_0} \\ \rightarrow \Delta &= -\frac{\sum \pm \Delta P_i}{2 \sum R_i Q_i} = -\frac{\sum \pm R_i Q_i^2}{2 \sum R_i Q_i} \quad (1) \end{aligned}$$

Q : شدت جريان واقعی (متر مکعب بر ثانیه)

Q_0 : شدت جريان فرضی یا اولیه (متر مکعب بر ثانیه)

Δ : خطای شدت جريان حلقه (متر مکعب بر ثانیه)

R : مقاومت کار معدنی هر شاخه (کیلومورگ)

ΔP : افت فشار هر شاخه (میلیمتر آب)

مراحل حل معادله هارדי کراس به شرح ذيل است:

مراحله اول: با توجه به قانون گره‌ها يك شدت جريان فرضی با جهت فرضی برای هر يك از شاخه‌ای شبکه تهويه در نظر گرفته می‌شود.

مراحله دوم: شناسایي حلقه‌های مفيد در شبکه تهويه طبق رابطه ۲ و انتخاب يك جهت فرضی برای آنها

$$N_R = N_B - N_J + 1 \quad (2)$$

N_R : تعداد حلقه‌های مفيد

N_B : تعداد شاخه‌ها در شبکه تهويه

N_J : تعداد گره‌ها در شبکه تهويه

مراحله سوم: محاسبه افت فشار هوا برای هر يك از شاخه‌ای موجود در حلقه طبق رابطه

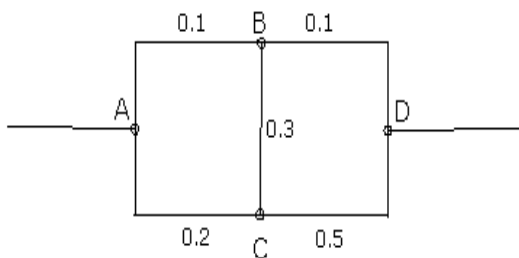
$$\Delta P = R Q^2 \quad (3)$$

مراحله چهارم: محاسبه مقدار خطای شدت

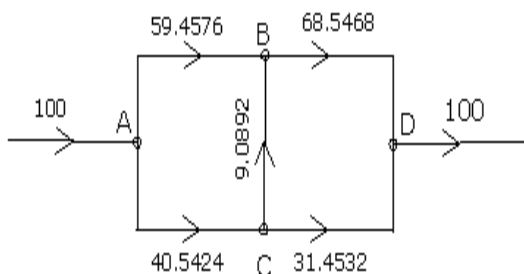
۱-۳- مدل اول

شبکه تهویه یک فضای زیرزمینی فرضی مطابق شکل ۱ منظور شده است. در این شبکه مقاومت هر شاخه بحسب کیلومتر و شدت جریان کل شبکه معادل ۱۰۰ متر مکعب بر ثانیه فرض شده است. ابتدا این شبکه را با استفاده از نرم افزار نتسیم که تا کنون به عنوان کامل‌ترین نرم افزار تحلیل شبکه تهویه فضای زیرزمینی شناخته شده شبیه‌سازی کرده و سپس نتایج آن با روش دستی حل معادلات هاردی کراس و روش‌های اصلاح شده آن مقایسه می‌شود. نتیجه شبیه‌سازی نرم افزار نتسیم برای توزیع شدت جریان هر یک از شاخه‌های شبکه مذکور مطابق شکل ۲ شده است.

جهت تحلیل شدت جریان هر یک از شاخه‌ها به روش هاردی کراس و روش‌های اصلاح شده آن نیاز به یک شدت جریان فرضی است. این شدت جریان‌های فرضی به همراه انتخاب حلقه‌های مورد نیاز شبکه در شکل ۳ نمایش یافته است.



شکل ۱- شبکه تهویه فرضی



شکل ۲- توزیع شدت جریان هوا توسط نرم افزار نتسیم

در حقیقت رابطه‌های ۱ و ۴ برای شدت جریان-های با مقدار مثبت کاملاً مشابه هم هستند.

$$\Delta = -\frac{\sum_{i=1}^n b_{ki} (R_i |Q_i| - P_{ni} - P_{Fi})}{2 \sum_{i=1}^n b_{ki}^2 R_i |Q_i|} \quad (4)$$

b_{ki} : عنصر ماتریس بنیادی حلقه است. اگر جهت جریان هوا در شاخه‌ای با جهت جریان حلقه هم جهت باشد در این صورت این عنصر معادل ۱ در غیر این صورت معادل ۱- در رابطه ۴ ظاهر می‌شود.

P_{ni} : افزایش فشار ناشی از تهویه طبیعی در شاخه مورد نظر

P_{Fi} : افزایش فشار ناشی از بادیز نصب شده در شاخه مورد نظر

۲-۲- روش اصلاح شده افرائی و مدنی

این تصحیح نیز مربوط به مرحله چهارم از مراحل حل روش هاردی کراس است. طبق نظر افرائی و مدنی در صورتی که شدت جریان شاخه‌ای پس از جمع جبری با خطای حلقه‌های مربوط به آن طبق رابطه ۱ منفی شود در این صورت اولاً جهت جریان در شاخه مذکور نباید تغییر کند و دیگر آن که شدت جریان آن شاخه در محاسبه خطای حلقه‌ها در تکرار بعد با علامت جبری خود در مخرج رابطه ۱ در نظر گرفته شود. به عبارت دیگر در صورتی که شدت جریان یک شاخه منفی شود در این صورت رابطه شدت جریان در مخرج با علامت منفی لحاظ شده اما جهت جریان تغییر نمی‌کند. این حالت همان حالتی است که منجرب به دستیابی سریع به پاسخ صحیح می‌شود [۶].

۳- بررسی روش‌های هاردی کراس

جهت بررسی هدف فوق از یک شبکه تهویه فرضی استفاده شده است که طی دو مدل مختلف تشریح می‌شود.

$$\Delta_1 = -\frac{0.1 \times 70^2 - 0.3 \times 10^2 - 0.2 \times 30^2}{2(0.1 \times 70 + 0.3 \times 10 + 0.2 \times 30)} = -8.75$$

$$\Delta_2 = -\frac{0.1 \times 80^2 - 0.5 \times 20^2 + 0.3 \times 10^2}{2(0.1 \times 80 + 0.5 \times 20 + 0.3 \times 10)} = -11.1905$$

$$Q_{AB} = Q_{AB} + \Delta_1 = 70 - 8.75 = 61.25$$

$$Q_{AC} = Q_{AC} - \Delta_1 = 30 - (-8.75) = 38.75$$

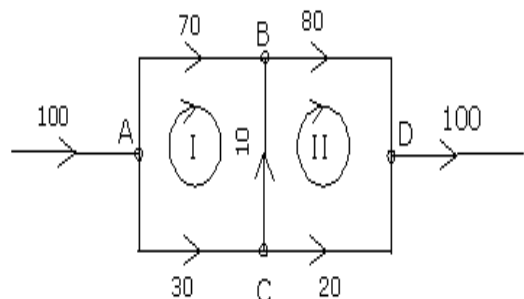
$$Q_{CB} = Q_{CB} - \Delta_1 + \Delta_2 \rightarrow$$

$$Q_{CB} = 10 - (-8.75) + (-11.1905) = 7.5595$$

$$Q_{BD} = Q_{BD} + \Delta_2 \rightarrow$$

$$Q_{BD} = 80 + (-11.1905) = 68.8095$$

$$Q_{CD} = Q_{CD} - \Delta_2 = 20 - (-11.1905) = 31.1905$$



شکل ۳- شدت جریان‌های فرضی هوا به همراه انتخاب حلقه

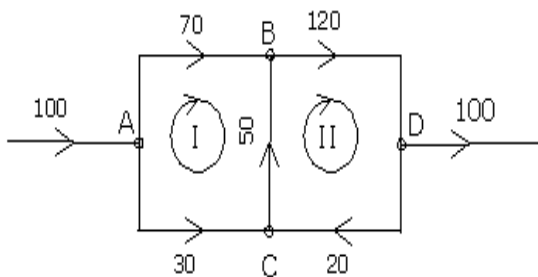
مرحله‌ی اول انجام محاسبات روش هارדי کراس طبق رابطه ۱ به شرح ذیل و نتایج سایر مراحل آن در جدول ۱ گزارش شده است.

جدول ۱- نتایج مراحل روش هارדי کراس (Q:m³/s)

Δ_2	Δ_1	Q_{CD}	Q_{BD}	Q_{CB}	Q_{AC}	Q_{AB}	شرح
-11/1905	-8/75	31/1905	68/8095	7/5595	38/75	61/25	تکرار اول
-0/0848	-1/7872	31/2753	68/7247	9/2619	40/5372	59/4628	تکرار دوم
-0/1774	0/0239	31/4527	68/5473	9/0606	40/5133	59/4867	تکرار سوم
0/0026	-0/0290	31/4500	68/5500	9/0923	40/5423	59/4577	تکرار چهارم
-0/0031	0/00044	31/4532	68/5468	9/0887	40/5419	59/4581	تکرار پنجم
0/0005	-0/00051	31/4531	68/5469	9/0893	40/5424	59/4576	تکرار ششم
-0/0006	0/00008	31/4532	68/5468	9/0892	40/5424	59/4576	تکرار هفتم

ونگ را طبق رابطه ۴ بررسی کنیم نتایج آن کاملاً با نتایج موجود در جدول ۱ مطابقت خواهد داشت. اما با توجه به جدول ۱ هیچ

طبق جدول ۱ نتایج حاصل از تکرار هفتم با نتایج به دست آمده از نرم افزار ونتسیم کاملاً مطابقت دارند. همچنین اگر روش اصلاح شده



شکل ۴- شدت جریان‌های فرضی هوا به همراه انتخاب
حلقه

نتایج حاصل از حل روش‌های هارדי کراس و اصلاح شده ونگ مطابق **جدول ۲** (با تغییر جهت جریان در مقابل شدت جریان با مقدار منفی) و روش اصلاح شده افرائی و مدنی (بدون تغییر جهت جریان در مقابل شدت جریان با مقدار منفی) مطابق **جدول ۳** خواهد شد.

شدت جریان منفی در تکرار هفت مرحله تولید نشده است بنابراین تصحیح خطای شدت جریان ارایه شده توسط افرائی و مدنی برای حل معادله هارדי کراس در این مثال قابل استفاده نیست و نتیجه این تصحیح مطابق **جدول ۱** خواهد بود. بنابراین روش‌های اصلاح شده در این مدل قادر به همگرایی سریع‌تر حل معادله برای رسیدن به جواب نهایی نمی‌باشند.

۲-۳- مدل دوم

نتایج حاصل در **جدول ۱** بیانگر این مطلب است که با انتخاب مدل اول و تحلیل روش هارדי کراس سبب تولید شدت جریان هوا با مقدار منفی در شاخه‌ای نشده است. بنابراین جهت درک بهتر تحلیل روابط ارایه شده نیاز به مدل دیگری است که باعث تولید شدت جریان منفی شود. بر این اساس مدل دوم مطابق **شکل ۴** ارایه شده است.

جدول ۲- نتایج مراحل روش هارדי کراس و اصلاح شده ونگ (Q:m³/s)

Δ_2	Δ_1	Q_{CD}	Q_{BD}	Q_{CB}	Q_{AC}	Q_{AB}	شرح
-۳۲/۲۹۷۳	۷/۸۵۷۱	-۱۲/۲۹۷۳	۸۷/۷۰۲۷	۹/۸۴۵۶	۲۲/۱۴۲۹	۷۷/۸۵۷۱	تکرار اول
-۲۰/۲۱۶۶	-۱۵/۷۹۰۹	۳۲/۵۱۳۹	۶۷/۴۸۶۱	۵/۴۱۹۹	۳۷/۹۳۳۸	۶۲/۰۶۶۲	تکرار دوم
۱/۳۰۵۸	-۲/۸۷۳۵	۳۱/۲۰۸۱	۶۸/۷۹۱۹	۹/۵۹۹۲	۴۰/۸۰۷۳	۵۹/۱۹۲۷	تکرار سوم
-۰/۲۷۴۱	۰/۳۰۴۰	۳۱/۴۸۲۲	۶۸/۵۱۷۸	۹/۰۲۱۱	۴۰/۵۰۳۳	۵۹/۴۹۶۷	تکرار چهارم
۰/۰۳۳۲	-۰/۰۴۳۸	۳۱/۴۴۹۰	۶۸/۵۵۱۰	۹/۰۹۸۱	۴۰/۵۴۷۱	۵۹/۴۵۲۹	تکرار پنجم
-۰/۰۰۴۷	۰/۰۰۵۴	۳۱/۴۵۳۷	۶۸/۵۴۶۳	۹/۰۸۸۰	۴۰/۵۴۱۷	۵۹/۴۵۸۳	تکرار ششم
-۰/۰۰۰۵۸	-۰/۰۰۰۸	۳۱/۴۵۳۱	۶۸/۵۴۶۹	۹/۰۸۹۴	۴۰/۵۴۲۵	۵۹/۴۵۷۵	تکرار هفتم
-۰/۰۰۰۰۸	۰/۰۰۰۰۹	۳۱/۴۵۳۲	۶۸/۵۴۶۸	۹/۰۸۹۲	۴۰/۵۴۲۴	۵۹/۴۵۷۶	تکرار هشتم

جدول ۳- نتایج مراحل روش اصلاح شده افرائی و مدنی ($Q:m^3/s$)

Δ_2	Δ_1	Q_{CD}	Q_{BD}	Q_{CB}	Q_{AC}	Q_{AB}	شرح
-۳۲/۲۹۷۳	۷/۸۵۷۱	-۱۲/۲۹۷۳	۸۷/۷۰۴۷	۹/۸۴۵۶	۲۲/۱۴۲۹	۷۷/۸۵۷۱	تکرار اول
-۷۸/۳۶۹۷	-۱۵/۷۹۰۹	-۹۰/۶۶۷۱	۹/۳۳۲۹	-۵۲/۷۳۳۳	۳۷/۹۳۳۸	۶۲/۰۶۶۲	تکرار دوم
۴۱/۱۲۵۸	-۱۸۱/۷۸۴	-۴۹/۵۴۱۳	۵۰/۴۵۸۷	۱۷۰/۱۷۶۳	۲۱۹/۷۱۷۶	-۱۱۹/۷۱۸	تکرار سوم
-۱۶۲/۳۱۱	۱۰۱/۸۳۶۸	-۲۱۱/۸۵۲	-۱۱۱/۸۵۲	-۹۳/۹۷۱۱	۱۱۷/۸۸۰۸	-۱۷/۸۸۰۸	تکرار چهارم
۹۰/۶۴۱۵	-۴۲۱/۳۷۸	-۱۲۱/۲۱	-۲۱/۲۱۰۴	۴۱۸/۰۴۸۱	۵۳۹/۲۵۸۵	-۴۳۹/۲۵۸	تکرار پنجم
-۴۷۷/۱۲۵	۲۴۱/۰۸۵۵	-۵۹۸/۳۳۶	-۴۹۸/۳۳۶	-۳۰۰/۱۶۳	۲۹۸/۱۷۲۹	-۱۹۸/۱۷۳	تکرار ششم
۲۶۲/۹۱۵۲	-۴۰۶/۹۵	-۳۳۵/۴۲	-۲۳۵/۴۲	۳۶۹/۷۰۲۸	۷۰۵/۱۲۳۳	-۶۰۵/۱۲۳	تکرار هفتم
۶۳۹/۷۶۸۱	۲۷۱/۱۹۶	۳۰۴/۳۴۷۶	۴۰۴/۳۴۷۶	۷۳۸/۲۷۴۹	۴۳۳/۹۲۷۳	-۳۳۳/۹۲۷	تکرار هشتم

$$\Delta_2 = -$$

$$\frac{0.1 \times 87.7027^2 + 0.5 \times 12.2973^2 + 0.3 \times 9.8456^2}{2(0.1 \times 87.7027 - 0.5 \times 12.2973 + 0.3 \times 9.8456)}$$

$$\rightarrow \Delta_2 = -78.3697$$

$$Q_{AB} = Q_{AB} + \Delta_1 = 77.8571 - 15.7909 = 62.0662$$

$$Q_{AC} = Q_{AC} - \Delta_1 = 22.1429 - (-15.7909)$$

$$Q_{AC} = 37.9338$$

$$Q_{CB} = Q_{CB} - \Delta_1 + \Delta_2$$

$$Q_{CB} = 9.8456 - (-15.7909) + (-78.3697)$$

$$Q_{CB} = -52.7333$$

$$Q_{BD} = Q_{BD} + \Delta_2 = 87.7027 + (-78.3697)$$

$$Q_{BD} = 9.3329$$

$$Q_{CD} = Q_{CD} + \Delta_2 = -12.2973 + (-78.3697)$$

$$Q_{CD} = -90.6671$$

۴- مدل تلفیقی روش هارדי کراس

جهت همگرایی سریع‌تر به جواب نهایی در روش هارדי کراس مدل‌های اصلاح شده مختلفی تا کنون ارایه شده که هر یک از مزایا و معایب خاص خود

با توجه به جدول ۲ بعد از هشت بار تکرار محاسبات برای روش‌های هارדי کراس و اصلاحی ونگ بیانگر این مطلب است که نتایج نهایی آن با نتایج حاصل از شبیه‌سازی نرم افزار ونت‌سیم که پیش از این در شکل ۲ ارایه شده کاملاً مطابقت دارد. ولی نتایج حاصل در جدول ۳ بیانگر این مطلب است که روش اصلاح شده افرائی و مدنی به جای همگرایی سبب واگرایی به جواب نهایی شده است. خطای حاصل در روش اصلاح شده افرائی و مدنی از مرحله دوم انجام محاسبات اتفاق می‌افتد که سبب تولید یک شدت جریان دیگر با مقادیر منفی می‌شود. تکرار دوم به شرح ذیل بیان می‌شود:

$$\Delta_1 = -$$

$$\frac{0.1 \times 77.8571^2 - 0.3 \times 9.8456^2 - 0.2 \times 22.1429^2}{2(0.1 \times 77.8571 + 0.3 \times 9.8456 + 0.2 \times 22.1429)}$$

$$\rightarrow \Delta_1 = -15.7909$$

مطابق جدول ۴ خواهد شد. طبق این جدول مشاهده می‌شود که اولاً نتایج حاصل شده با نتایج حاصل از نرم افزار ونتسیم که پیش از این در شکل ۲ ارایه شده کاملاً با هم مطابقت داشته و ثانیاً مدل تلفیقی مذکور طی ۴ مرحله به جواب نهایی می‌رسد در صورتی که مدل‌های قبلی طبق جدول ۱ طی ۷ مرحله به جواب نهایی رسیده‌اند.

$$\Delta_1 = -\frac{0.1 \times 70^2 - 0.3 \times 10^2 - 0.2 \times 30^2}{2(0.1 \times 70 + 0.3 \times 10 + 0.2 \times 30)} = -8.75$$

$$Q_{AB} = Q_{AB} + \Delta_1 = 70 - 8.75 = 61.25$$

$$Q_{AC} = Q_{AC} - \Delta_1 = 30 - (-8.75) = 38.75$$

$$Q_{CB} = Q_{CB} - \Delta_1 = 10 - (-8.75) = 18.75$$

$$\Delta_2 = -\frac{0.1 \times 80^2 - 0.5 \times 20^2 + 0.3 \times 18.75^2}{2(0.1 \times 80 + 0.5 \times 20 + 0.3 \times 18.75)}$$

$$\rightarrow \Delta_2 = -11.5443$$

$$Q_{CB} = Q_{CB} + \Delta_2 = 18.75 + (-11.5443) = 7.2057$$

$$Q_{BD} = Q_{BD} + \Delta_2 = 80 + (-11.5443) = 68.4557$$

$$Q_{CD} = Q_{CD} - \Delta_2 = 20 - (-11.5443) = 31.5443$$

برخوردار است. در همه مدل‌های اصلاح شده تصحیحات انجام شده مربوط به مراحل چهارم و پنجم از مراحل حل روش هاردي کراس است. در تمام مدل‌های اصلاح شده این دو مرحله جدا از هم بررسی و محاسبه می‌شوند یعنی پس از اتمام عملیات مرحله چهارم، عملیات مرحله پنجم شروع می‌شود که این امر یکی از معایب دسترسی سریع‌تر به جواب نهایی است. لذا جهت رفع عیب فوق مدل تلفیقی روش هاردي کراس ارایه می‌شود که سبب دسترسی سریع‌تر به جواب نهایی است. این مدل بر اساس حل توان و گام به گام مراحل چهارم و پنجم و بررسی تاثیر هر یک بر دیگری استوار است. به عبارت دیگر بعد از محاسبه خطای حلقه اول، باید عملیات تصحیح شدت جریان شاخه‌های مربوطه انجام شود و سپس خطای حلقه دوم برآورد گردد. بر این اساس حل توان دو مرحله چهارم و پنجم از مراحل حل روش هاردي کراس سبب دسترسی سریع‌تر به جواب نهایی خواهد شد. جهت اثبات این ادعا به سه مثال ذیل توجه شود.

۱-۴- مثال اول

با توجه به شبکه تهويه فرضي ارایه شده در شکل ۱ و شدت جريان‌های فرضي ترسیم شده در شکل ۳، مرحله اول انجام محاسبات مدل تلفیقی روش هاردي کراس به شرح ذيل و سایر مراحل انجام محاسبات

جدول ۴- نتایج مراحل مدل تلفیقی روش هاردي کراس برای مثال اول (Q:m³/s)

Δ_2	Δ_1	Q_{CD}	Q_{BD}	Q_{CB}	Q_{AC}	Q_{AB}	شرح
-11/5443	-8/75	31/5443	68/4557	7/2057	38/75	61/25	تکرار اول
.0/0851	-1/8479	31/4592	68/5408	9/1387	40/5979	59/4021	تکرار دوم
.0/0059	.0/0545	31/4533	68/5467	9/0901	40/5434	59/4566	تکرار سوم
.0/0001	.0/001	31/4532	68/5468	9/0892	40/5424	59/4576	تکرار چهارم

شدت جريان‌های فرضي ترسیم شده در شکل ۴، مرحله اول انجام محاسبات مدل تلفیقی روش هاردي کراس به شرح ذيل و سایر مراحل انجام محاسبات

۲-۴- مثال دوم

با توجه به شبکه تهويه فرضي ارایه شده در شکل ۱ و

$$\begin{aligned}
 Q_{AB} &= Q_{AB} + \Delta_1 = 70 + 7.8571 = 77.8571 \\
 Q_{AC} &= Q_{AC} - \Delta_1 = 30 - 7.8571 = 22.1429 \\
 Q_{CB} &= Q_{CB} - \Delta_1 = 50 - 7.8571 = 42.1429 \\
 \Delta_2 &= -\frac{0.1 \times 120^2 + 0.5 \times 20^2 + 0.3 \times 42.1429^2}{2(0.1 \times 120 + 0.5 \times 20 + 0.3 \times 42.1429)} \\
 \rightarrow \Delta_2 &= -31.36 \\
 Q_{CB} &= Q_{CB} + \Delta_2 = 42.1429 + (-31.36) \\
 &= 10.7828 \\
 Q_{BD} &= Q_{BD} + \Delta_2 = 120 + (-31.36) = 88.6399 \\
 Q_{CD} &= Q_{CD} + \Delta_2 = 20 + (-31.36) = -11.36
 \end{aligned}$$

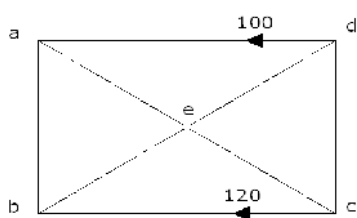
مطابق جدول ۵ خواهد بود. طبق این جدول مشاهده می‌شود که اولاً نتایج حاصل شده با نتایج حاصل از نرم افزار ونتسیم که پیش از این در شکل ۲ ارایه شده کاملاً با هم مطابقت داشته و ثانیاً مدل اصلاح شده مذکور طی ۶ مرحله به جواب نهایی می‌رسد در صورتی که برخی از مدل‌های قبلی طبق جدول ۲ طی ۸ مرحله به جواب نهایی رسیده‌اند.

$$\begin{aligned}
 \Delta_1 &= -\frac{0.1 \times 70^2 - 0.3 \times 50^2 - 0.2 \times 30^2}{2(0.1 \times 70 + 0.3 \times 50 + 0.2 \times 30)} \\
 \rightarrow \Delta_1 &= 7.8571
 \end{aligned}$$

جدول ۵- نتایج مراحل مدل تلفیقی روش هاردی کراس برای مثال دوم (Q:m³/s)

Δ_2	Δ_1	Q_{CD}	Q_{BD}	Q_{CB}	Q_{AC}	Q_{AB}	شرح
-۳۱/۳۶	۷/۸۵۷۱	-۱۱/۳۶	۸۸/۶۳۹۹	۱۰/۷۸۲۸	۲۲/۱۴۲۹	۷۷/۸۵۷۱	تکرار اول
-۲۰/۶۸۳۳	-۱۵/۳۱۵۸	۳۲/۰۴۴۴	۶۷/۹۵۶۷	۵/۴۱۵۳	۳۷/۴۵۸۷	۶۲/۵۴۱۳	تکرار دوم
۰/۵۶۵۱	-۳/۳۰۸۷	۳۱/۴۷۸۳	۶۸/۵۲۱۷	۹/۲۸۹۱	۴۰/۷۶۷۴	۵۹/۲۳۲۶	تکرار سوم
۰/۰۲۴۶	۰/۲۲۰۴	۳۱/۴۵۳۷	۶۸/۵۴۶۳	۹/۰۹۳۴	۴۰/۵۴۷۰	۵۹/۴۵۳۰	تکرار چهارم
۰/۰۰۰۴۹	۰/۰۰۴۶	۳۱/۴۵۳۲	۶۸/۵۴۶۸	۹/۰۸۹۳	۴۰/۵۴۲۵	۵۹/۴۵۷۵	تکرار پنجم
۰/۰۰۰۰۹	۰/۰۰۰۰۸	۳۱/۴۵۳۲	۶۸/۵۴۶۸	۹/۰۸۹۲	۴۰/۵۴۲۴	۵۹/۴۵۷۶	تکرار ششم

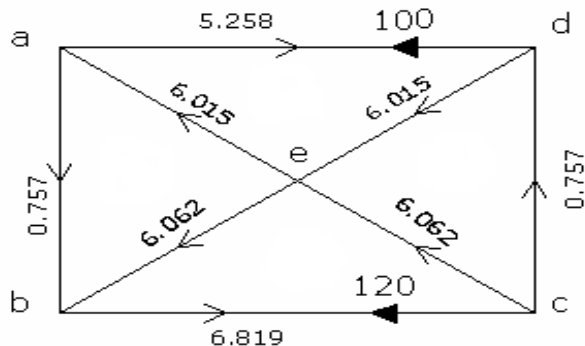
شبیه‌سازی نرم افزار ونتسیم برای توزیع شدت جریان هر یک از شاخه‌های شبکه مذکور در شکل ۶ ارایه شده است.



شکل ۵- شبکه تهویه فرضی

۴-۳-مثال سوم

شبکه تهویه یک فضای زیرزمینی فرضی مطابق شکل ۵ منظور شده است. در این شبکه مقاومت معدنی هر شاخه معادل ۱ کیلومتر و دو بادیزن با مشخصات ۱۰۰ و ۱۲۰ میلیمتر آب در این شبکه در نظر گرفته شده است. ابتدا این شبکه را با استفاده از نرم افزار ونتسیم شبیه‌سازی کرده و سپس نتایج آن با روش‌های دستی هاردی کراس، اصلاح شده ونگ (با تعییر جهت جریان در مقابل شدت جریان با مقدار منفی) و مدل تلفیقی آن مقایسه می‌شود. نتیجه



شکل ۶- توزیع شدت جریان هوا توسط نرم افزار ونتسیم

$$\Delta_4 = -\frac{+1 \times 15^2 + 1 \times 8^2 + 1 \times 3^2 - 100}{2(1 \times 15 + 1 \times 8 + 1 \times 3)} \\ \rightarrow \Delta_4 = -3.808$$

$$Q'_{ab} = Q_{ab} - \Delta_1 = 5 - 2.147 = 2.853 \frac{m^3}{s}$$

$$Q'_{ea} = Q_{ea} - \Delta_1 + \Delta_4 = 8 - 2.147 - 3.808 = 2.045 \frac{m^3}{s}$$

$$Q'_{eb} = Q_{eb} + \Delta_1 - \Delta_2 = 4 + 2.147 + 1 = 7.147 \frac{m^3}{s}$$

$$Q'_{bc} = Q_{bc} - \Delta_2 = 9 + 1 = 10 \frac{m^3}{s}$$

$$Q'_{ce} = Q_{ce} + \Delta_2 - \Delta_3 = 3 - 1 - 6.3 = -4.3 \frac{m^3}{s}$$

$$Q'_{cd} = Q_{cd} - \Delta_3 = 12 - 6.3 = 5.7 \frac{m^3}{s}$$

$$Q'_{de} = Q_{de} - \Delta_3 + \Delta_4 = 15 - 6.3 - 3.808 = 4.892 \frac{m^3}{s}$$

$$Q'_{ad} = Q_{ad} + \Delta_4 = 3 - 3.808 = -0.808 \frac{m^3}{s}$$

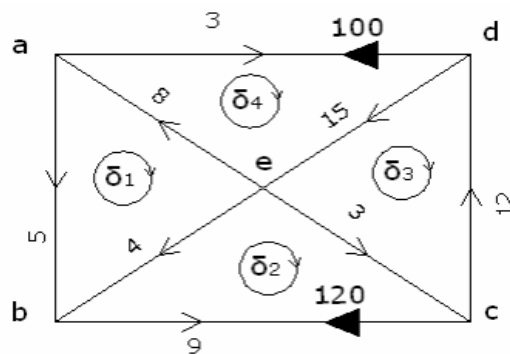
جهت تحلیل شدت جریان هر یک از شاخه‌ها به روش هارדי کراس، اصلاح شده ونگ و مدل تلفیقی آن نیاز به یک شدت جریان فرضی است. این شدت جریان‌های فرضی به همراه انتخاب حلقه‌های مورد نیاز شبکه در شکل ۷ نمایش یافته است.

مرحله اول انجام محاسبات روش هارדי کراس و اصلاح شده ونگ به شرح ذیل و نتایج سایر مراحل آن مطابق جدول ۶ خواهد شد. طبق این جدول نتیجه مرحله چهلم آن مطابق شکل ۶ است که پیش از این توسط نرم افزار ونتسیم ارایه شده است.

$$\Delta_1 = -\frac{-1 \times 8^2 + 1 \times 4^2 - 1 \times 5^2}{2(1 \times 8 + 1 \times 4 + 1 \times 5)} = 2.147$$

$$\Delta_2 = -\frac{-1 \times 4^2 + 1 \times 3^2 - 1 \times 9^2 + 120}{2(1 \times 4 + 1 \times 3 + 1 \times 9)} = -1$$

$$\Delta_3 = -\frac{-1 \times 3^2 - 1 \times 15^2 - 1 \times 12^2}{2(1 \times 3 + 1 \times 15 + 1 \times 12)} = 6.3$$



شکل ۷- شدت جریان‌های فرضی هوا به همراه انتخاب حلقه

جدول ۶- نتایج مراحل روش هارדי کراس و اصلاح شده و نگ برای مثال سوم (Q:m³/s)

Q_{de}	Q_{ea}	Q_{ad}	Q_{cd}	Q_{ce}	Q_{bc}	Q_{eb}	Q_{ab}	شرح
۴/۸۹۲	۲/۰۴۵	-۰/۸۰۸	۵/۷	-۴/۳	۱۰	۷/۱۴۷	۲/۸۵۳	تکرار ۱
۸/۳۰۱	۸/۳۳۷	-۳/۸۷۵	۴/۴۲۶	۴/۴۱۸	۸/۸۴۴	۴/۳۸۳	۴/۴۶۲	تکرار ۲
۴/۹۸۷	۴/۹۹۱	۲/۰۷۳	۲/۴۱۵	۶/۵۱۶	۸/۹۳۱	۶/۵۱۲	۲/۴۱۹	تکرار ۳
۷/۱۴۶	۷/۱۴۶	۴/۳۰۹	۲/۸۳۷	۵/۰۷۸	۷/۹۱۵	۵/۰۷۸	۲/۸۳۷	تکرار ۴
۵/۴۸۳	۵/۴۸۳	۳/۷۵۳	۱/۷۳۰	۶/۳۴۶	۸/۰۷۵	۶/۳۴۵	۱/۷۰۳	تکرار ۵
۶/۲۲۷	۶/۲۲۷	۵/۰۰۳	۱/۲۲۳	۵/۸۳۶	۷/۰۵۹	۵/۸۳۶	۱/۲۲۳	تکرار ۱۰
۵/۹۸۰	۵/۹۸۰	۵/۱۳۱	۰/۸۴۸	۶/۰۸۶	۶/۹۳۴	۶/۰۸۶	۰/۸۴۸	تکرار ۱۵
۶/۰۳۴	۶/۰۳۴	۵/۲۳۳	۰/۸۰۱	۶/۰۴۱	۶/۸۴۲	۶/۰۴۱	۰/۸۰۱	تکرار ۲۰
۶/۰۱۱	۶/۰۱۱	۵/۲۴۶	۰/۷۶۶	۶/۰۶۴	۶/۸۳۰	۶/۰۶۴	۰/۷۶۶	تکرار ۲۵
۶/۰۱۷	۶/۰۱۷	۵/۲۵۵	۰/۷۶۱	۶/۰۶۰	۶/۸۲۱	۶/۰۶۰	۰/۷۶۱	تکرار ۳۰
۶/۰۱۴	۶/۰۱۴	۵/۲۵۷	۰/۷۵۸	۶/۰۶۲	۶/۸۲۰	۶/۰۶۲	۰/۷۵۸	تکرار ۳۵
۶/۰۱۵	۶/۰۱۵	۵/۲۵۸	۰/۷۵۷	۶/۰۶۲	۶/۸۱۹	۶/۰۶۲	۰/۷۵۷	تکرار ۴۰

$$\rightarrow \Delta_2 = -0.281 \rightarrow \begin{cases} Q'_{eb} = 6.147 + 0.281 = 6.428 \\ Q'_{bc} = 9 + 0.281 = 9.281 \\ Q'_{ce} = 3 - 0.281 = 2.719 \end{cases}$$

$$\Delta_3 = -\frac{-1 \times 2.719^2 - 1 \times 15^2 - 1 \times 12^2}{2(2.719 + 1 \times 15 + 1 \times 12)} = 6.333$$

$$\rightarrow \begin{cases} Q'_{ce} = 2.719 - 6.333 = -3.614 \\ Q'_{de} = 15 - 6.333 = 8.667 \\ Q'_{cd} = 12 - 6.333 = 5.667 \end{cases}$$

$$\Delta_4 = -\frac{1 \times 8.667^2 + 1 \times 5.853^2 + 1 \times 3^2 - 100}{2(1 \times 8.667 + 1 \times 5.853 + 1 \times 3)}$$

$$\rightarrow \Delta_4 = -0.525 \rightarrow \begin{cases} Q'_{de} = 8.667 - 0.525 = 8.142 \\ Q'_{ea} = 5.853 - 0.525 = 5.328 \\ Q'_{ad} = 3 - 0.525 = 2.475 \end{cases}$$

همچنین مرحله‌ی اول انجام محاسبات مدل تلفیقی روش هارדי کراس به شرح ذیل و نتایج سایر مراحل آن مطابق جدول ۷ خواهد شد. طبق این جدول نتیجه مرحله بیست و یکم آن مطابق شکل ۶ است که پیش از این توسط نرم‌افزار ونتسیم ارایه شده است.

$$\Delta_1 = -\frac{-1 \times 5^2 + 1 \times 4^2 - 1 \times 8^2}{2(1 \times 5 + 1 \times 4 + 1 \times 8)} = 2.147$$

$$\rightarrow \begin{cases} Q'_{ab} = 5 - 2.147 = 2.853 \\ Q'_{eb} = 4 + 2.147 = 6.147 \\ Q'_{ea} = 8 - 2.147 = 5.853 \end{cases}$$

$$\Delta_2 = -\frac{-1 \times 6.147^2 - 1 \times 9^2 + 1 \times 3^2 + 120}{2(1 \times 6.147 + 1 \times 9 + 1 \times 3)}$$

جدول ۷- نتایج مراحل مدل تلفیقی روش هارדי کراس برای مثال سوم (Q:m³/s)

Q_{de}	Q_{ea}	Q_{ad}	Q_{cd}	Q_{ce}	Q_{bc}	Q_{eb}	Q_{ab}	شرح
۸/۱۴۲	۵/۳۲۸	۲/۴۷۵	۵/۶۶۷	-۳/۸۱۴	۹/۲۸۱	۶/۴۲۸	۲/۸۵۳	تکرار ۱
۶/۸۲۹	۶/۶۴۷	۳/۷۹۴	۳/۰۳۵	۵/۷۱۵	۸/۷۵۰	۵/۸۹۷	۲/۸۵۳	تکرار ۲
۶/۲۶۸	۶/۵۶۵	۴/۲۸۱	۱/۹۸۷	۶/۰۲۲	۸/۰۰۹	۵/۷۲۵	۲/۲۸۳	تکرار ۳
۶/۱۷۰	۶/۳۸۸	۴/۶۳۸	۱/۵۳۲	۵/۹۹۴	۷/۵۲۶	۵/۷۷۶	۱/۷۵۰	تکرار ۴
۶/۱۲۰	۶/۲۴۴	۴/۸۷۱	۱/۲۴۹	۶/۰۱۲	۷/۲۶۱	۵/۸۸۸	۱/۳۷۳	تکرار ۵
۶/۰۲۶	۶/۰۳۸	۵/۲۱۹	۰/۸۰۷	۶/۰۵۷	۶/۸۶۴	۶/۰۴۵	۰/۸۱۹	تکرار ۱۰
۶/۰۱۶	۶/۰۱۷	۵/۲۵۴	۰/۷۶۲	۶/۰۶۲	۶/۸۲۴	۶/۰۶۰	۰/۷۶۳	تکرار ۱۵
۶/۰۱۵	۶/۰۱۵	۵/۲۵۷	۰/۷۵۸	۶/۰۶۲	۶/۸۲۰	۶/۰۶۲	۰/۷۵۹	تکرار ۱۸
۶/۰۱۵	۶/۰۱۵	۵/۲۵۷	۰/۷۵۷	۶/۰۶۲	۶/۸۲۰	۶/۰۶۲	۰/۷۵۸	تکرار ۲۰
۶/۰۱۵	۶/۰۱۵	۵/۲۵۸	۰/۷۵۷	۶/۰۶۲	۶/۸۱۹	۶/۰۶۲	۰/۷۵۷	تکرار ۲۱

شاخه‌ها به روش‌های هارדי کراس نیاز به یک شدت جریان فرضی است. این شدت جریان‌های فرضی در **شکل ۱۰** نمایش یافته است. همچنین پنج حلقه مفید در این شبکه وجود دارد که از دو حلقه‌ی افقی و سه حلقه‌ی قائم تشکیل شده که به شرح ذیل می‌باشند (جهت حلقه در جهت عقربه‌های ساعت):

$$R_1 : b - e - c - b$$

$$R_2 : c - e - g - c$$

$$R_3 : f - e - b - a$$

$$R_4 : f - e - c - d$$

$$R_5 : h - g - c - d$$

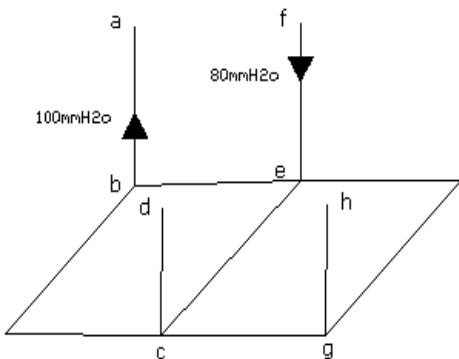
۳-۴- مثال چهارم

یک فضای زیرزمینی مطابق **شکل ۸** توسط چهار حفاری قائم به سطح زمین ارتباط دارد. در این شبکه مقاومت معدنی هر شاخه مطابق **جدول ۸** و دو بادیزن با مشخصات ۱۰۰ و ۸۰ میلیمتر آب در این شبکه در نظر گرفته شده است. ابتدا این شبکه توسط نرم افزار ونتسیم شبیه‌سازی شده و سپس نتایج آن با روش هارדי کراس و مدل تلفیقی مقایسه می‌شود. نتیجه شبیه‌سازی نرم افزار ونتسیم برای توزیع شدت جریان هر یک از شاخه‌های شبکه مذکور در **شکل ۹** ارایه شده است.

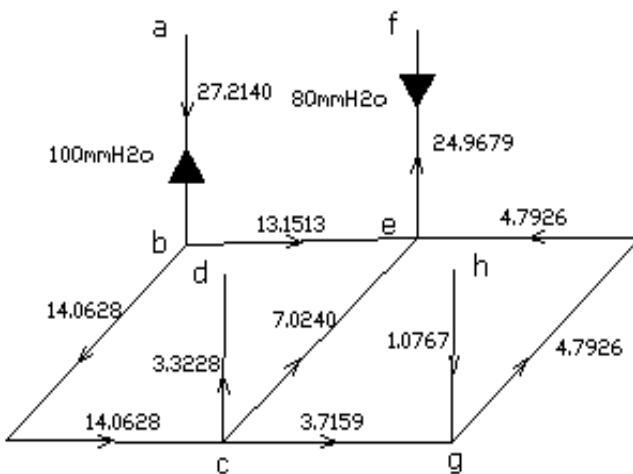
جهت تحلیل شدت جریان هر یک از

جدول ۸- مقاومت شاخه‌ها در شبکه تهویه

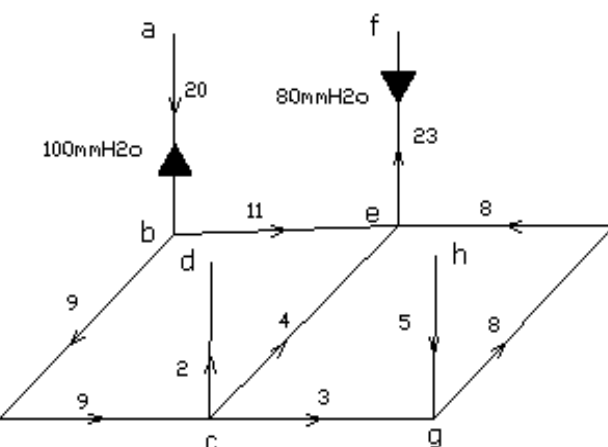
	شاخص	مقاومت کار معدنی (کیلو مورگ)
۰/۱	ab	
۰/۱۲	bc	
۰/۲	cd	
۰/۱۵	ce	
۰/۱۸	be	
۰/۱۲	ef	
۰/۱۷	cg	
۰/۲۲	eg	
۰/۱۲	gh	



شکل ۸- شبکه تهویه فرضی



شکل ۹- توزیع شدت جریان هوا توسط نرم افزار ونتسیم



شکل ۱۰- شدت جریان‌های فرضی هوا

$$Q'_{ab} = Q_{ab} - \Delta_3 = 20 - (-4.0608) = 24.0608 \frac{m^3}{s}$$

$$Q'_{bc} = Q_{bc} - \Delta_1 = 9 - (-1.3197) = 10.3197 \frac{m^3}{s}$$

$$Q'_{cd} = Q_{cd} + \Delta_4 + \Delta_5 = 2 + (-1.9840) + (-0.7517)$$

$$\rightarrow Q'_{cd} = -0.7357 \frac{m^3}{s}$$

$$Q'_{cg} = Q_{cg} - \Delta_2 - \Delta_5 = 3 - 2.3014 - (-0.7517)$$

$$\rightarrow Q'_{cg} = 1.4503 \frac{m^3}{s}$$

$$Q'_{gh} = Q_{gh} + \Delta_5 = 5 + (-7517) = 4.2483 \frac{m^3}{s}$$

$$Q'_{eg} = Q_{eg} - \Delta_2 = 8 - 2.3014 = 5.6986 \frac{m^3}{s}$$

$$Q'_{ef} = Q_{ef} - \Delta_3 - \Delta_4 = 23 - (-4.0608) - (-1.9840)$$

$$\rightarrow Q'_{ef} = 29.0449 \frac{m^3}{s}$$

$$Q'_{be} = Q_{be} + \Delta_1 - \Delta_3 = 11 + (-1.3197) - (-4.0608)$$

$$\rightarrow Q'_{be} = 13.7412 \frac{m^3}{s}$$

$$Q'_{ce} = Q_{ce} - \Delta_1 + \Delta_2 - \Delta_4 = 4 - (-1.3197) + 2.3014 - (-1.9840) \rightarrow Q'_{ce} = 9.6051 \frac{m^3}{s}$$

مرحله اول انجام محاسبات روش هارדי کراس و اصلاح شده ونگ به شرح ذیل و نتایج سایر مراحل آن مطابق **جدول ۹** خواهد شد. طبق این جدول نتیجه مرحله پنجاهم آن مطابق **شکل ۹** است که پیش از این توسط نرم افزار ونتسیم ارایه شده است.

$$\Delta_1 = -\frac{-0.12 \times 9^2 - 0.15 \times 4^2 + 0.18 \times 11^2}{2(0.12 \times 9 + 0.15 \times 4 + 0.18 \times 11)}$$

$$\rightarrow \Delta_1 = -1.3197$$

$$\Delta_2 = -\frac{0.15 \times 4^2 - 0.17 \times 3^2 - 0.22 \times 8^2}{2(0.15 \times 4 + 0.17 \times 3 + 0.22 \times 8)} = 2.3014$$

$$\Delta_3 = -\frac{-0.18 \times 11^2 - 0.1 \times 20^2 - 0.12 \times 23^2 + 180}{2(0.18 \times 11 + 0.1 \times 20 + 0.12 \times 23)}$$

$$\rightarrow \Delta_3 = -4.0608$$

$$\Delta_4 = -\frac{-0.15 \times 4^2 - 0.12 \times 23^2 + 0.2 \times 2^2 + 80}{2(0.15 \times 4 + 0.12 \times 23 + 0.2 \times 2)}$$

$$\rightarrow \Delta_4 = -1.9840$$

$$\Delta_5 = -\frac{0.2 \times 2^2 - 0.17 \times 3^2 + 0.12 \times 5^2}{2(0.2 \times 2 + 0.17 \times 3 + 0.12 \times 5)} = -0.7517$$

جدول ۹- نتایج مراحل روش هارדי کراس و اصلاح شده ونگ برای مثال چهارم (Q:m³/s)

شرح	Q_{ab}	Q_{bc}	Q_{cd}	Q_{cg}	Q_{gh}	Q_{eg}	Q_{ef}	Q_{be}	Q_{ce}
تکرار ۱	۲۴/۰۶۰۸	۱۰/۳۱۹۷	-۰/۷۳۵۷	۱/۴۵۰۳	۴/۲۴۸۳	۵/۶۹۸۶	۲۹/۰۴۴۹	۱۲/۷۴۱۲	۹/۶۰۵۱
تکرار ۲	۲۳/۲۷۷۰	۱۱/۰۳۴۸	-۱/۷۹۰۶	۳/۸۴/۴۶	۶/۷۷۵۹	۲۴/۷۹۴۰	۱۲/۲۴۲۳	۱۲/۷۷۵۸	۵/۷۷۵۸
تکرار ۳	۲۴/۹۴۷۰	۱۱/۸۷۲۴	۱/۶۰۲۰	۲/۲۲۲۷	۳/۳۴۱۴	۵/۵۶۴۱	۲۶/۶۸۶۴	۱۳/۰۷۴۶	۸/۰۴۷۷
تکرار ۴	۲۵/۰۴۲۴	۱۲/۲۸۷۷	۱/۲/۸۷۷	۲/۸۹۱۰	۲/۸۸۰۵	۵/۹۳۱۴	۲۵/۲۳۱۹	۱۲/۷۵۴۶	۶/۵۴۵۸
تکرار ۵	۲۵/۷۸۳۸	۱۲/۷۸۶۱	۲/۵۳۵۲	۲/۸۴۲۱	۲/۵۷۳۴	۵/۴۱۵۴	۲۵/۸۲۲۰	۱۲/۹۹۷۷	۷/۴۰۸۹
تکرار ۱۰	۲۶/۷۸۵۸	۱۳/۷۱۵۰	۱/۳/۷۱۵۰	۳/۲۲۴۹	۳/۴۹۰۷	۱/۵۷۵۱	۲۵/۱۳۶۰	۱۳/۰۷۰۸	۶/۹۹۹۴
تکرار ۱۵	۲۷/۰۹۴۴	۲۷/۰۹۶۵	۱/۳/۹۶۶۵	۳/۶۴۷۷	۳/۲۹۶۳	۱/۲۲۷۰	۲۵/۰۲۲۵	۱۳/۱۲۷۹	۷/۰۲۲۵
تکرار ۲۰	۲۷/۱۷۹۴	۱۴/۰۳۵۲	۱/۴/۰۳۵۲	۳/۳۱۶۱	۳/۸۹۶۲	۴/۸۱۷۲	۲۴/۹۸۴۳	۱۳/۱۴۴۲	۷/۰۲۲۹
تکرار ۲۵	۲۷/۲۰۴۰	۱۴/۰۵۴۸	۱/۴/۰۵۴۸	۳/۷۱۰۲	۳/۳۲۰۹	۱/۰۸۹۶	۴/۷۹۹۸	۲۴/۹۷۷۲۷	۷/۰۲۳۷
تکرار ۳۰	۲۷/۲۱۱۱	۱۴/۰۶۰۵	۱/۴/۰۶۰۵	۳/۷۱۴۲	۳/۳۲۲۳	۱/۰۸۰۵	۴/۷۹۴۷	۲۴/۹۶۹۳	۷/۰۲۳۹
تکرار ۳۵	۲۷/۲۱۳۲	۱۴/۰۶۲۱	۱/۴/۰۶۲۱	۳/۷۱۵۴	۳/۳۲۲۷	۱/۰۷۷۸	۴/۷۹۳۲	۲۴/۹۶۸۳	۷/۰۲۴۰
تکرار ۴۰	۲۷/۲۱۳۸	۱۴/۰۶۲۶	۱/۴/۰۶۲۶	۳/۷۱۵۸	۳/۳۲۲۸	۱/۰۷۷۰	۴/۷۹۲۸	۲۴/۹۶۸۰	۷/۰۲۴۰
تکرار ۴۵	۲۷/۲۱۴۰	۱۴/۰۶۲۷	۱/۴/۰۶۲۷	۳/۷۱۵۹	۳/۳۲۲۸	۱/۰۷۶۸	۴/۷۹۲۷	۲۴/۹۶۸۰	۷/۰۲۴۰
تکرار ۵۰	۲۷/۲۱۴۰	۱۴/۰۶۲۸	۱/۴/۰۶۲۸	۳/۷۱۵۹	۳/۳۲۲۸	۱/۰۷۶۷	۴/۷۹۲۶	۲۴/۹۶۷۹	۷/۰۲۴۰

$$\Delta_5 = -\frac{0.2 \times 3.9055^2 - 0.17 \times 1.1478^2 + 0.12 \times 5^2}{2(0.2 \times 3.9055 + 0.17 \times 1.1478 + 0.12 \times 5)}$$

$$\Delta_5 = -1.8483 \rightarrow \begin{cases} Q'_{cd} = 3.9055 - 1.8483 = 2.0572 \\ Q'_{cg} = 1.1478 + 1.8483 = 2.9960 \\ Q'_{gh} = 5 - 1.8483 = 3.1517 \end{cases}$$

۵- نتیجه‌گیری

روش‌های مختلفی همچون روش دستی و رایانه‌ای جهت تحلیل تهویه شبکه‌های فضای زیرزمینی ارایه شده است. شرط انتخاب نوع روش به هدف از تحلیل شبکه بستگی دارد. اگر هدف از تحلیل شبکه‌های تهویه فضای زیرزمینی، بررسی تاثیر یک یا چند بادبزن بر شبکه باشد در این صورت بهتر است از روش رایانه‌ای استفاده شود. این روش بر پایه روش‌های تقریبی ریاضی استوار است.

روش هارדי کراس در بین روش‌های تقریبی ریاضی جهت تحلیل شبکه تهویه فضاهای زیرزمینی از عمومیت بیشتری برخوردار است. همگرایی در این روش به مقادیر و جهت شدت جریان‌های فرضی و ترتیب انتخاب حلقه‌ها بستگی دارد. اگر در تحلیل شبکه با استفاده از این روش، مقدار شدت جریان جدید ساخه‌ای منفی شود در این صورت باید جهت جریان هوا در ساخه مورد نظر بر عکس شود.

تصحیح ونگ مربوط به مرحله چهارم از مراحل حل روش هارדי کراس است. در این مدل اصلاح شده اگر مقدار شدت جریان جدید ساخه‌ای منفی شود در این صورت یا جهت جریان هوا در ساخه مورد نظر بر عکس می‌شود یا جهت جریان تغییر نمی‌کند. اگر جهت جریان تغییر نکند در این صورت شدت جریان با مقدار منفی در رابطه ۴ باید ظاهر شود.

تصحیح افرائی و مدنی نیز مربوط به

همچنین مرحله اول انجام محاسبات مدل تلفیقی روش هارדי کراس به شرح ذیل و نتایج سایر مراحل آن مطابق **جدول ۱۰** خواهد شد. طبق این جدول نتیجه مرحله بیست و پنجم آن مطابق **شکل ۹** است که پیش از این توسط نرم‌افزار ونتسیم ارایه شده است.

$$\Delta_1 = -\frac{-0.12 \times 9^2 - 0.15 \times 4^2 + 0.18 \times 11^2}{2(0.12 \times 9 + 0.15 \times 4 + 0.18 \times 11)} \rightarrow$$

$$\Delta_1 = -1.3197 \rightarrow \begin{cases} Q'_{bc} = 9 + 1.3197 = 10.3197 \\ Q'_{ce} = 4 + 1.3197 = 5.3197 \\ Q'_{be} = 11 - 1.3197 = 9.6803 \end{cases}$$

$$\Delta_2 = -\frac{0.15 \times 5.3197^2 - 0.17 \times 3^2 - 0.22 \times 8^2}{2(0.15 \times 5.3197 + 0.17 \times 3 + 0.22 \times 8)} \rightarrow$$

$$\Delta_2 = 1.8522 \rightarrow \begin{cases} Q'_{ce} = 5.3197 + 1.8522 = 7.1719 \\ Q'_{cg} = 3 - 1.8522 = 1.1478 \\ Q'_{eg} = 8 - 1.8522 = 6.1478 \end{cases}$$

$$\Delta_3 = -\frac{-0.18 \times 9.6803^2 - 0.1 \times 20^2 - 0.12 \times 23^2 + 180}{2(0.18 \times 9.6803 + 0.1 \times 20 - 0.12 \times 23)} \rightarrow$$

$$\Delta_3 = -4.5869 \rightarrow \begin{cases} Q'_{be} = 9.6803 + 4.5869 = 14.2672 \\ Q'_{ab} = 20 + 4.5869 = 24.5869 \\ Q'_{ef} = 23 + 4.5869 = 27.5869 \end{cases}$$

$$\Delta_4 = -\frac{-0.15 \times 7.1719^2 - 0.12 \times 27.5869^2 + 0.2 \times 2^2 + 80}{2(0.15 \times 7.1719^2 - 0.12 \times 27.5869^2 + 0.2 \times 2^2 + 80)} \rightarrow$$

$$\Delta_4 = 1.9055 \rightarrow \begin{cases} Q'_{ce} = 7.1719 - 1.9055 = 5.2664 \\ Q'_{ef} = 27.5869 - 1.9055 = 25.6814 \\ Q'_{cd} = 2 + 1.9055 = 3.9055 \end{cases}$$

برای دسترسی سریع‌تر به جواب نهایی لازم است حل توام و گام به گام مراحل چهارم و پنجم و بررسی تاثیر هر یک بر دیگری اجرا شود. به عبارت دیگر بعد از محاسبه خطای حلقه اول، باید عملیات تصحیح شدت جریان شاخه‌های مربوطه انجام شود و سپس خطای حلقه دوم برآورده شود. طبق مثال‌های سوم و چهارم در بخش چهارم این مدل تلفیقی توانسته است تعداد تکرار انجام محاسبات روش هارדי کراس را تقریباً به ۵۰ درصد کاهش دهد.

مراحله چهارم از مراحل حل روش هارדי کراس است. در این مدل اصلاح شده اگر مقدار شدت جریان جدید شاخه‌ای منفی شود در این صورت در بعضی از مدل‌ها دچار واگرایی می‌شود.

مراحل چهارم و پنجم از حل معادله هارדי کراس در تمام مدل‌های اصلاح شده آن جدا از هم بررسی و محاسبه می‌شوند که این امر یکی از معایب دسترسی سریع‌تر به جواب نهایی است. لذا جهت رفع عیب فوق مدل تلفیقی روش هارדי کراس ارایه شده است. در این مدل

جدول ۱۰- نتایج مراحل مدل تلفیقی روش هارדי کراس برای مثال چهارم (Q:m³/s)

Q_{ce}	Q_{be}	Q_{ef}	Q_{eg}	Q_{gh}	Q_{cg}	Q_{cd}	Q_{bc}	Q_{ab}	شرح
۵/۲۶۶۴	۱۴/۲۶۷۲	۲۵/۶۸۱۴	۶/۱۴۷۸	۳/۱۵۱۷	۲/۹۹۶۰	۲/۰۵۷۲	۱۰/۳۱۹۷	۲۴/۵۸۶۹	تکرار ۱
۶/۳۳۲۴	۱۳/۰۲۷۱	۲۵/۲۳۷۲	۵/۸۷۷۷	۲/۴۱۳۹	۳/۴۶۳۸	۲/۶۶۶۴	۱۲/۴۶۲۶	۲۵/۴۸۹۷	تکرار ۲
۶/۵۷۸۸	۱۳/۱۰۷۵	۲۵/۱۵۳۷	۵/۴۶۷۴	۱/۹۱۷۰	۳/۵۵۰۴	۲/۹۴۸۷	۱۳/۰۷۷۸	۲۶/۱۸۵۳	تکرار ۳
۶/۷۵۲۰	۱۳/۱۱۵۶	۲۵/۰۸۶۳	۵/۲۱۸۸	۱/۶۰۲۱	۳/۶۱۶۷	۳/۱۰۶۸	۱۳/۴۷۵۵	۲۶/۵۹۱۱	تکرار ۴
۶/۸۵۷۲	۱۳/۱۲۶۱	۲۵/۰۴۲۸	۵/۰۵۹۵	۱/۴۰۳۱	۳/۶۵۶۴	۳/۱۹۵۷	۱۳/۷۰۹۴	۲۶/۸۳۵۴	تکرار ۵
۷/۰۰۹۶	۱۳/۱۴۸۵	۲۴/۹۷۴۸	۴/۸۱۶۶	۱/۱۰۵۶	۳/۷۱۱۰	۳/۳۱۲۵	۱۴/۰۳۳۲	۲۷/۱۸۱۷	تکرار ۱۰
۷/۰۲۲۸	۱۳/۱۵۱۰	۲۴/۹۶۸۵	۴/۷۹۴۷	۱/۰۷۹۲	۳/۷۱۵۵	۳/۳۲۱۹	۱۴/۰۶۰۲	۲۷/۲۱۱۲	تکرار ۱۵
۷/۰۲۳۹	۱۳/۱۵۱۲	۲۴/۹۶۸۰	۴/۷۹۲۸	۱/۰۷۸۹	۳/۷۱۵۹	۳/۳۲۲۸	۱۴/۰۶۲۶	۲۷/۲۱۳۸	تکرار ۲۰
۷/۰۲۴۰	۱۳/۱۵۱۳	۲۴/۹۶۷۹	۴/۷۹۲۶	۱/۰۷۸۷	۳/۷۱۵۹	۳/۳۲۲۸	۱۴/۰۶۲۸	۲۷/۲۱۴۰	تکرار ۲۵

۶- مراجع

- [۱] الهی، ابراهیم؛ (۱۳۹۳)؛ اصول طراحی تهويه در معادن؛ انتشارات جهاد دانشگاهی واحد صنعتی امير كبير.
- [۲] مدنی، حسن؛ (۱۳۸۵)؛ تهويه در معادن؛ جلد اول، چاپ پنجم، انتشارات مرکز نشر دانشگاهی.
- [۳] مدنی، حسن؛ (۱۳۸۲)؛ تهويه در معادن؛ جلد دوم، انتشارات دانشگاه صنعتی امير كبير.

- [4] Cross, H. (1936). Analysis of Flow in Networks of Conduits or Conductors. *Bulletin 286, Engineering Experiment Station, University of Illinois, Urbane*, 29 pp.
- [5] Wang, Y. J. (1982). Ventilation Network Theory., Mine Ventilation and Air Conditioning. 2nd ed., H. L. Hartman (Ed.), *Wiley-Interscience, NY*, pp. 167-195.
- [6] Khaled Ali El-Nagdy. (2008). *Analysis of Complex Ventilation Networks in Multiple Fan Coal Mine*, Ph.D thesis, West Virginia University.
- [7] افرائی، سجاد؛ مدنی، حسن؛ (۱۳۹۱)، بررسی عوامل موثر بر همگرایی روش هاردی کراس در تحلیل شبکه‌های تهویه معادن؛ نشریه علمی-پژوهشی مهندسی معادن، دوره هفتم، شماره هفدهم، صفحه ۱۵-۲۱.
- [8] مدنی، حسن؛ ملکی، بیژن؛ (۱۳۸۶)، تحلیل شبکه تهویه معادن با استفاده از روش نیوتون-رفسون بر پایه معادلات DQ؛ نشریه علمی-پژوهشی دانشگاه صنعتی امیرکبیر، دوره شصت و ششم، صفحه ۹۷-۱۰۲.
- [9] Wang, Y. J. (1989). A Procedure for Solving A More Generalized System of Mine Ventilation Network Equations. *Proceedings of the 4th US. Mine Ventilation Symposium, SME, Littleton, Co.*, pp. 419-424.
- [10] Wang, Y. J. (1982b). Critical Path Approach to Mine Ventilation Networks with Controlled Flow. *Trans. SME-AIME, Vol. 272*, pp. 1862-72.
- [11] Bhamidipati, S. S., and Procarione, J. A. (1985). Linear Analysis for the Solution of Flow Distribution Problems. *Proceedings of the 2nd US Mine Ventilation Symposium, Mousset_Jones, P. (Ed.), Rotterdam, Netherlands*, pp. 645-654.
- [12] Kamba, G. M., Jacques, E., and Patigny, J. (1995). Application of the Simplex Method to the Optimal Adjustment of the Parameters of A Ventilation Network. *Proceedingss of the 7th US Mine Ventilation Symposium, Wala, A. M. (Ed.), SME, Littleton, Co.*, pp. 461-465.
- [13] Wang, Y. J. (1984). A Non-Linear Programming Formulation for Mine Ventilation Networks with Natural Splitting. *International Journal of Rock Mechanics and Mining Science, Vol. 21, No. 1*, pp. 42-3-45.
- [14] Hu, W., and Longson, I. (1990). The Optimization of Airflow Distribution in Ventilation Networks Using A Nonlinear Programming Method. *Mining Science and Technology, Vol. 10, No. 2*, pp. 209-219.
- [15] Collins, M., Cooper, L., Helgason, R., Kennington, J., and LeBlanc, L. (1978). Solving the Pipe Network Analysis Problem Using Optimization Techniques. *Management Science, Vol. 24*, pp. 747-760.

